

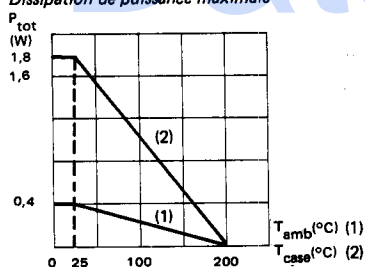
Compl. of 2N 2221, A and 2N 2222, A

\* Preferred device  
Dispositif recommandé

- LF or HF amplification  
*Amplification BF ou HF*
- Medium current switching  
*Commutation à moyen courant*

$V_{CEO}$	-40 V	2N 2906 - 2907
	-60 V	2N 2906 A - 2907 A
$I_C$	-0,6 A	
$h_{21E}$ (-150 mA)	40 - 120 100 - 300	2N 2906, A 2N 2907, A
$f_T$	200 MHz	min.

Maximum power dissipation  
Dissipation de puissance maximale



Case TO-18 — See outline drawing CB-6 on last pages  
Boîtier Voir dessin côté CB-6 dernières pages



C..E  
B

Bottom view  
Vue de dessous

Weight : 0,32 g  
Masse

Collector is connected to case  
Le collecteur est relié au boîtier

ABSOLUTE RATINGS (LIMITING VALUES)  
VALEURS LIMITES ABSOLUES D'UTILISATION

$T_{amb} = +25^\circ\text{C}$

(Unless otherwise stated)  
(Sauf indications contraires)

			2N 2906	2N 2906 A	
			2N 2907	2N 2907 A	
Collector-base voltage Tension collecteur-base	$V_{CBO}$	-60	-60	-60	V
Collector-emitter voltage Tension collecteur-émetteur	$V_{CEO}$	-40	-60	-60	V
Emitter-base voltage Tension émetteur-base	$V_{EBO}$	-5	-5	-5	V
Collector current Courant collecteur	$I_C$	-0,6	-0,6	-0,6	A
Power dissipation Dissipation de puissance	$T_{amb} = 25^\circ\text{C}$ (1)	$P_{tot}$	0,4	0,4	W
			1,8	1,8	
Junction temperature Température de jonction	max.	$T_j$	200	200	°C
Storage temperature Température de stockage	min. max.	$T_{stg}$	-65 +200	-65 +200	°C

STATIC CHARACTERISTICS CARACTÉRISTIQUES STATIQUES	$T_{amb} = 25^\circ C$	(Unless otherwise stated) (Sauf indications contraires)
	Test conditions Conditions de mesure	Min. Typ. Max.
Collector-base cut-off current <i>Courant résiduel collecteur-base</i>	$I_E = 0$ $V_{CB} = -50 V$	2N 2906 2N 2907 2N 2906A 2N 2907A
	$I_E = 0$ $V_{CB} = -50 V$ $T_{amb} = 150^\circ C$	2N 2906 2N 2907 2N 2906A 2N 2907A
Collector-emitter cut-off current <i>Courant résiduel collecteur-émetteur</i>	$V_{BE} = 0,5 V$ $V_{CE} = -30 V$	$I_{CEX}$
Collector-base breakdown voltage <i>Tension de claquage collecteur-base</i>	$I_E = 0$ $I_C = -10 \mu A$	$V_{(BR)CBO}$
Collector-emitter breakdown voltage <i>Tension de claquage collecteur-émetteur</i>	$I_B = 0$ $I_C = -10 mA$	$V_{(BR)CEO}$
		2N 2906 2N 2907 2N 2906A 2N 2907A
Emitter-base breakdown voltage <i>Tension de claquage émetteur-base</i>	$I_C = 0$ $I_E = -10 \mu A$	$V_{(BR)EBO}^*$
Static forward current transfer ratio <i>Valeur statique du rapport de transfert direct du courant</i>	$I_C = -0,1 mA$ $V_{CE} = -10 V$	2N 2906 2N 2907 2N 2906A 2N 2907A
		25 35 40 75
		2N 2906 2N 2907 2N 2906A 2N 2907A
		25 50 40 100
	$I_C = -1 mA$ $V_{CE} = -10 V$	2N 2906 2N 2907 2N 2906A 2N 2907A
		35 75 40 100
		2N 2906 2N 2907 2N 2906A 2N 2907A
		35 75 40 100

\* Pulsed  
*Impulsions*  $t_p = 300 \mu s$   $\delta \leq 2\%$

**STATIC CHARACTERISTICS**  
**CARACTÉRISTIQUES STATIQUES** $T_{amb} = 25^\circ C$ (Unless otherwise stated)  
(Sauf indications contraires)

	Test conditions Conditions de mesure			Min.	Typ.	Max.	
Static forward current transfer ratio Valeur statique du rapport de transfert direct du courant	$I_C = -150 \text{ mA}$ $V_{CE} = -10 \text{ V}$	$h_{21E}^*$	2N 2906,A	40	120		
	$I_C = -500 \text{ mA}$ $V_{CE} = -10 \text{ V}$		2N 2907,A	100	300		
			2N 2906	20			
			2N 2907	30			
			2N 2906A	40			
			2N 2907A	50			
	$I_C = -150 \text{ mA}$ $I_B = -15 \text{ mA}$				-0,4		V
	$I_C = -500 \text{ mA}$ $I_B = -50 \text{ mA}$				-1,6		
Base-emitter saturation voltage Tension de saturation base-émetteur	$I_C = -150 \text{ mA}$ $I_B = -15 \text{ mA}$	$V_{BEsat}^*$			-1,3		V
	$I_C = -500 \text{ mA}$ $I_B = -50 \text{ mA}$				-2,6		

**DYNAMIC CHARACTERISTICS (for small signals)**  
**CARACTÉRISTIQUES DYNAMIQUES (pour petits signaux)**

Transition frequency Fréquence de transition	$I_C = -50 \text{ mA}$ $V_{CE} = -20 \text{ V}$ $f = 100 \text{ MHz}$	$f_T$		200		MHz
Output capacitance Capacité de sortie	$V_{CB} = -10 \text{ V}$ $I_E = 0$ $f = 100 \text{ MHz}$	$C_{22b}$		8		pF
Input capacitance Capacité d'entrée	$V_{EB} = -2 \text{ V}$ $I_C = 0$ $f = 100 \text{ MHz}$	$C_{11b}$		30		pF

**SWITCHING CHARACTERISTICS**  
**CARACTÉRISTIQUES DE COMMUTATION**

Turn-on time Temps total d'établissement (Fig.1)	$I_C \approx -150 \text{ mA}$ $I_B \approx -15 \text{ mA}$	$t_d + t_r$		45		ns
Turn-off time Temps total de coupure (Fig.2)	$I_C \approx -150 \text{ mA}$ $I_{B1} \approx -15 \text{ mA}$ $I_{B2} \approx +15 \text{ mA}$	$t_s + t_f$	2N 2906,A 2N 2907,A	175 200		ns

# Pulsed Impulsions  $t_p = 300 \mu\text{s}$   $\delta \leq 2\%$

**SWITCHING TIMES TESTS CIRCUITS**  
**SCHEMAS DE MESURES DES TEMPS DE COMMUTATION**

Figure 1

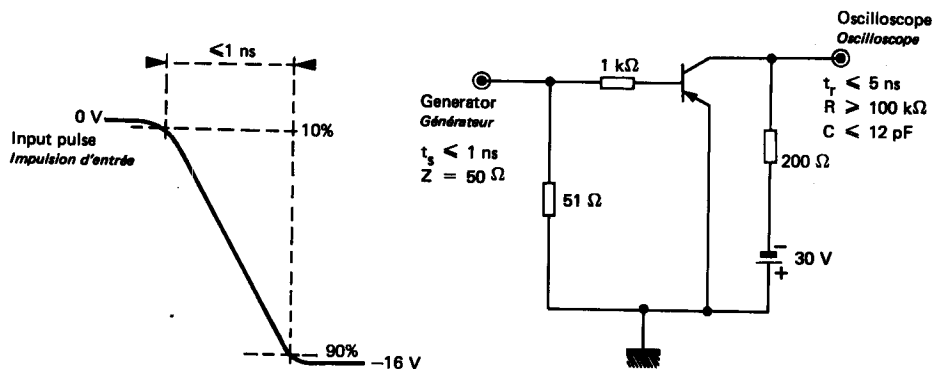
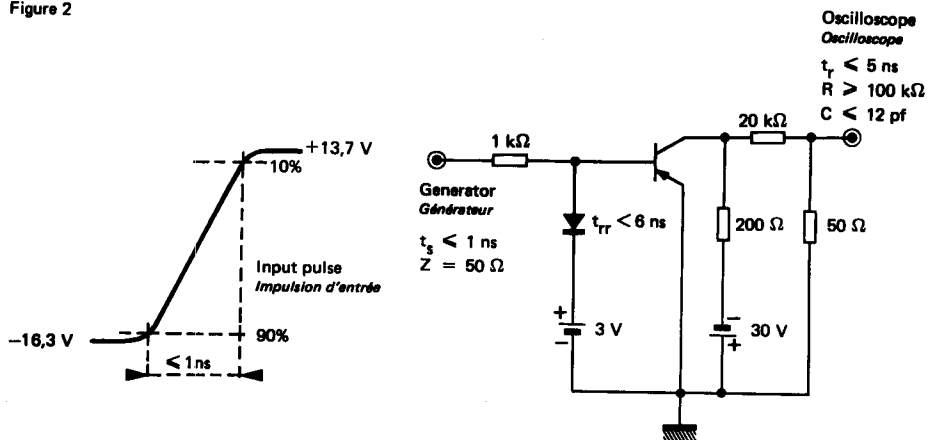
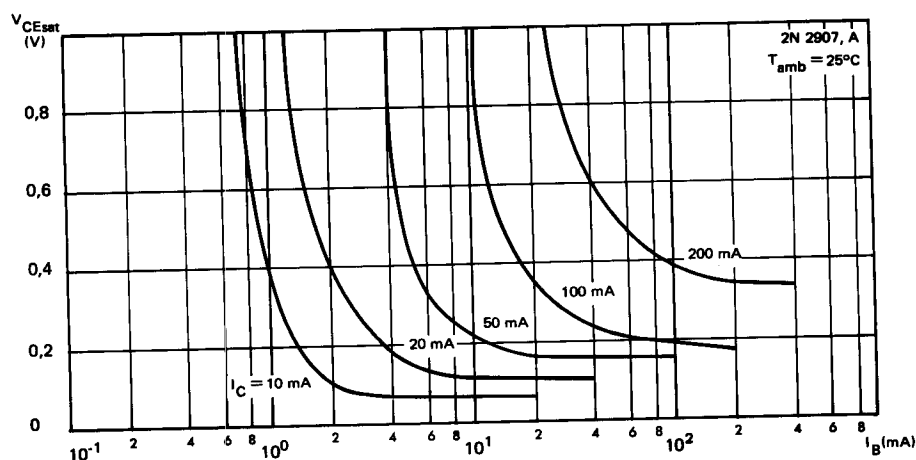
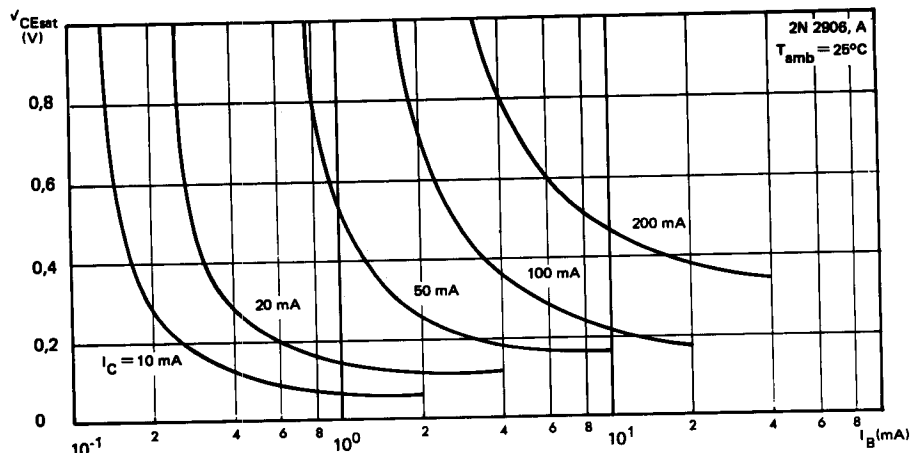


Figure 2



**TYPICAL CHARACTERISTICS**  
**CARACTÉRISTIQUES TYPIQUES**



**TYPICAL CHARACTERISTICS**  
**CARACTÉRISTIQUES TYPHIQUES**

